

UNIVERSIDADE FEDERAL DE VIÇOSA – UFV
CENTRO DE CIÊNCIAS EXATAS E TECNOLÓGICAS – CCE
DEPARTAMENTO DE ENGENHARIA ELÉTRICA - DEL

Sistemas de Controle II

ELT331

AULA 9 – Resposta em Frequência

Prof. Tarcísio Pizziolo

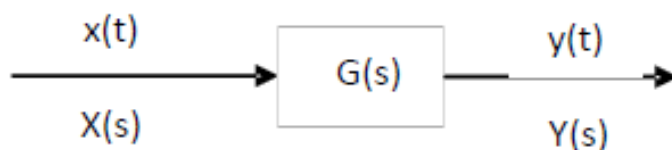
9 Resposta em Frequência

9.1. Análise de Resposta em Frequência

Resposta em Frequência é a Resposta em Regime Estacionário (ou Permanente) de um sistema com entrada senoidal.

A análise de resposta em frequência é feita variando-se a frequência do sinal de entrada em um certo intervalo e verificando-se a resposta em frequência resultante.

Considere um sistema dado pelo seu Diagrama de Blocos:



Considere sua Função de Transferência generalizada:

$$G(s) = \frac{p(s)}{q(s)} = \frac{p(s)}{(s + s_1).(s + s_2)...(s + s_n)}$$

9.1. Análise de Resposta em Frequência

Para um entrada $x(t) = X \cdot \sin(\omega t)$, a saída será dada por:

$$Y(s) = G(s) \cdot X(s) = \left[\frac{p(s)}{q(s)} \right] \cdot \frac{\omega \cdot X}{(s^2 + \omega^2)}$$

No **estado permanente**, para $G(s)$ com somente **polos reais distintos**:

$$Y(s) = G(s) \cdot X(s) = \left[\frac{p(s)}{q(s)} \right] \cdot \frac{\omega \cdot X}{(s^2 + \omega^2)} \Rightarrow$$

$$\Rightarrow Y(s) = \frac{A}{(s + j\omega)} + \frac{\bar{A}}{(s - j\omega)} + \frac{B_1}{(s + s_1)} + \frac{B_2}{(s + s_2)} + \dots + \frac{B_n}{(s + s_n)} \Rightarrow y(t) = \mathcal{L}^{-1}\{Y(s)\}$$

$$\text{Então: } y(t) = A \cdot e^{-j\omega t} + \bar{A} \cdot e^{+j\omega t} + \cancel{B_1 \cdot e^{-s_1 t}}^{\rightarrow 0} + \cancel{B_2 \cdot e^{-s_2 t}}^{\rightarrow 0} + \dots + \cancel{B_n \cdot e^{-s_n t}}^{\rightarrow 0} \Rightarrow$$

$$= y(t) = A \cdot e^{-j\omega t} + \bar{A} \cdot e^{+j\omega t}$$

Se $Y(s)$ possuir polos múltiplos s_j de multiplicidade m_j , então $y(t)$ terá termos como $t^{h_j} \cdot e^{-s_j \cdot t}$ ($h_j = 0, 1, 2, \dots$). Assim sendo:

$$\text{Quando } t \rightarrow \infty \Rightarrow \lim_{t \rightarrow \infty} (t^{h_j} \cdot e^{-s_j \cdot t}) = 0$$

9.1. Análise de Resposta em Frequência

Determinação das constantes A e \bar{A} :

$$\begin{cases} A = G(s) \cdot \frac{w \cdot X}{(s^2 + w^2)} \cdot (s + jw) \big|_{s=-jw} = -\frac{XG(-jw)}{j2} \\ \bar{A} = G(s) \cdot \frac{w \cdot X}{(s^2 + w^2)} \cdot (s - jw) \big|_{s=jw} = \frac{XG(jw)}{j2} \end{cases}$$

$$G(jw) = |G(jw)| \cdot e^{j\phi}$$

$$G(-jw) = |G(-jw)| \cdot e^{-j\phi} = |G(jw)| \cdot e^{-j\phi}$$

$$\phi = \angle G(jw) = \text{tg}^{-1} \left[\frac{\text{Im}[(G(s))]}{\text{Real}[(G(jw))]} \right]$$

Então:

$$y(t) = A \cdot e^{+j\omega t} + \bar{A} \cdot e^{-j\omega t} = X \cdot |G(jw)| \cdot \frac{(e^{j(\omega t + \phi)} - e^{-j(\omega t + \phi)})}{2j} \Rightarrow$$

$$\Rightarrow y(t) = X \cdot |G(jw)| \cdot \text{sen}(\omega t + \phi) \Rightarrow y(t) = Y \cdot \text{sen}(\omega t + \phi)$$

9.1. Análise de Resposta em Frequência

Conclusão:

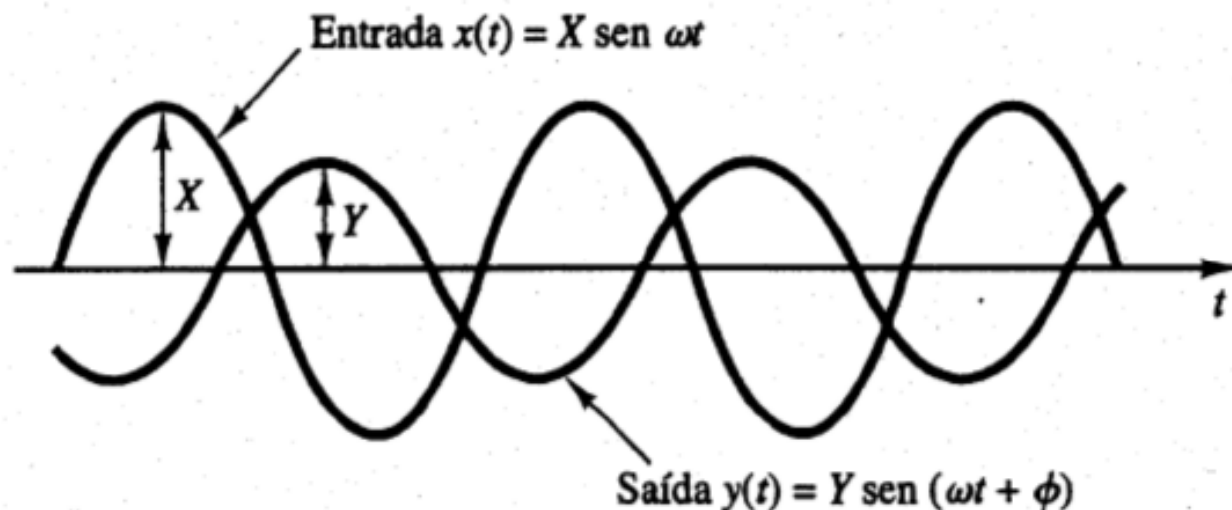
$$|G(j\omega)| = \left| \frac{Y(j\omega)}{X(j\omega)} \right|$$

$|G(j\omega)|$ é a relação de **amplitude** entre a saída e a entrada senoidais.

$$\angle G(j\omega) = \angle \left[\frac{Y(j\omega)}{X(j\omega)} \right]$$

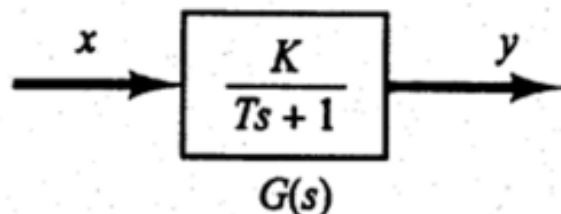
O **ângulo** de $G(j\omega)$ é a defasagem entre a saída e a entrada senoidais.

Graficamente:



9.1. Análise de Resposta em Frequência

Exemplo 1: Considere o sistema mostrado na Figura.



A função de transferência $G(s)$ é: $G(s) = \frac{K}{Ts + 1}$

A saída em regime permanente $y_{ss}(t)$ Para a entrada senoidal $x(t) = X \sin \omega t$ será?

Solução

Substituindo $j\omega$ por s em $G(s)$

$$G(j\omega) = \frac{K}{jT\omega + 1}$$

A relação de amplitude entre a saída e a entrada é:

$$|G(j\omega)| = \frac{K}{\sqrt{1 + T^2\omega^2}}$$

o ângulo de fase ϕ é:

$$\phi = \angle G(j\omega) = -\text{tg}^{-1} T\omega$$

$$y_{ss}(t) = \frac{XK}{\sqrt{1 + T^2\omega^2}} \text{sen}(\omega t - \text{tg}^{-1} T\omega)$$

Exemplo 2: Considere a rede dada por:

$$G(s) = \frac{s + \frac{1}{T_1}}{s + \frac{1}{T_2}}$$

Determine se essa é uma rede de avanço de fase ou de atraso de fase.

Para $x(t) = X \sin \omega t$:

$$G(j\omega) = \frac{j\omega + \frac{1}{T_1}}{j\omega + \frac{1}{T_2}} = \frac{T_2(1 + T_1 j\omega)}{T_1(1 + T_2 j\omega)} \quad |G(j\omega)| = \frac{T_2 \sqrt{1 + T_1^2 \omega^2}}{T_1 \sqrt{1 + T_2^2 \omega^2}}$$
$$\phi = \angle G(j\omega) = \text{tg}^{-1} T_1 \omega - \text{tg}^{-1} T_2 \omega$$

$$y_{ss}(t) = \frac{X T_2 \sqrt{1 + T_1^2 \omega^2}}{T_1 \sqrt{1 + T_2^2 \omega^2}} \sin(\omega t + \text{tg}^{-1} T_1 \omega - \text{tg}^{-1} T_2 \omega)$$

se $T_1 > T_2$, então $\text{tg}^{-1} T_1 \omega - \text{tg}^{-1} T_2 \omega > 0$

se $T_1 > T_2$, então a rede será uma rede de avanço de fase.

Se $T_1 < T_2$, então a rede será uma rede de atraso de fase.

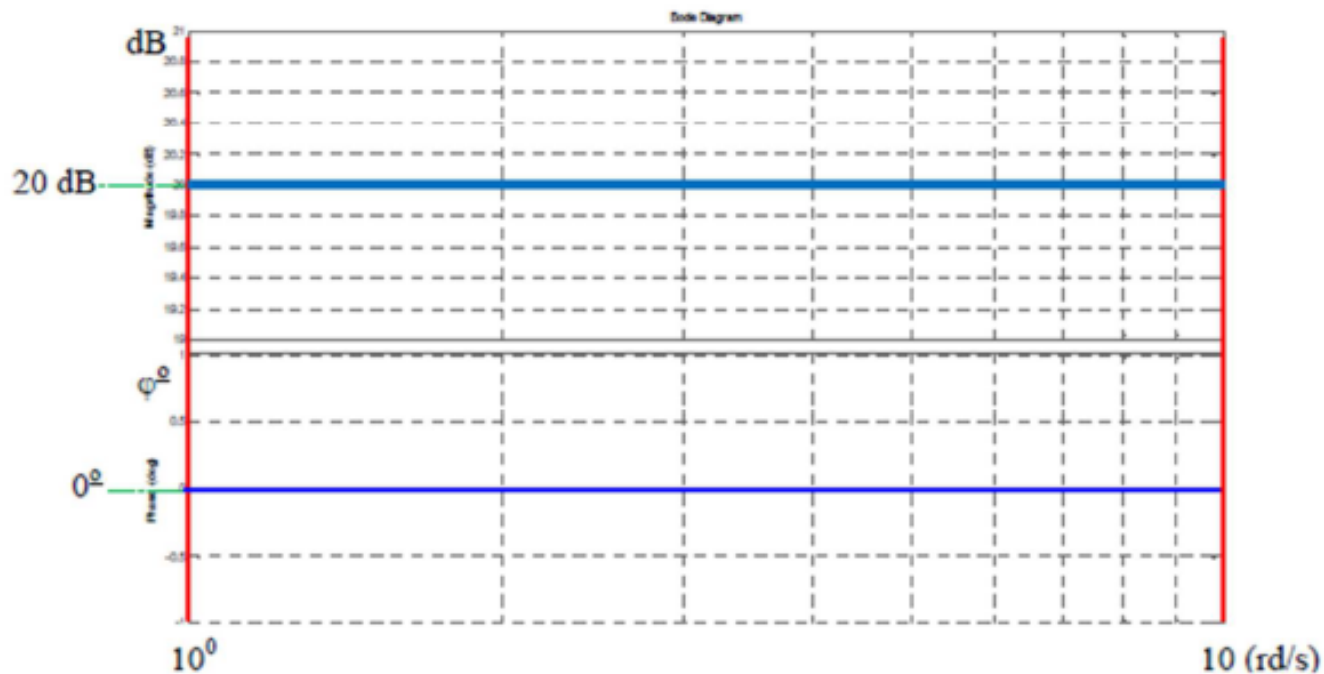
Diagrama de Bode

- Dois gráficos traçados em relação à frequência em escala logarítmica:
 - Gráfico do Módulo em dB ($\text{dB} = 20 \cdot \log_{10} |G(j\omega)|$)
 - Gráfico do ângulo de fase ($\phi(\omega)$)
- A multiplicação dos módulos pode ser convertida em soma.
- Fatores Básicos de $G(j\omega)$:
 - Ganho K
 - Fatores integral e derivativo $(j\omega)^{\pm 1}$
 - Fatores de primeira ordem $(1+j\omega T)^{\pm 1}$
 - Fatores quadráticos $[1+2\zeta (j\omega/\omega_n)+(j\omega/\omega_n)^2]^{\pm 1}$

1) Ganho K ($K > 0$)

- O Gráfico de *log-módulo* de K é uma reta horizontal $20 \cdot \log_{10}|K|$ em dB.
- O Gráfico do ângulo de fase $\varphi(\omega)$ de K é 0° .
- A variação do ganho K desloca a curva *log-módulo* para baixo ou para cima não afetando o ângulo de fase $\varphi(\omega)$.

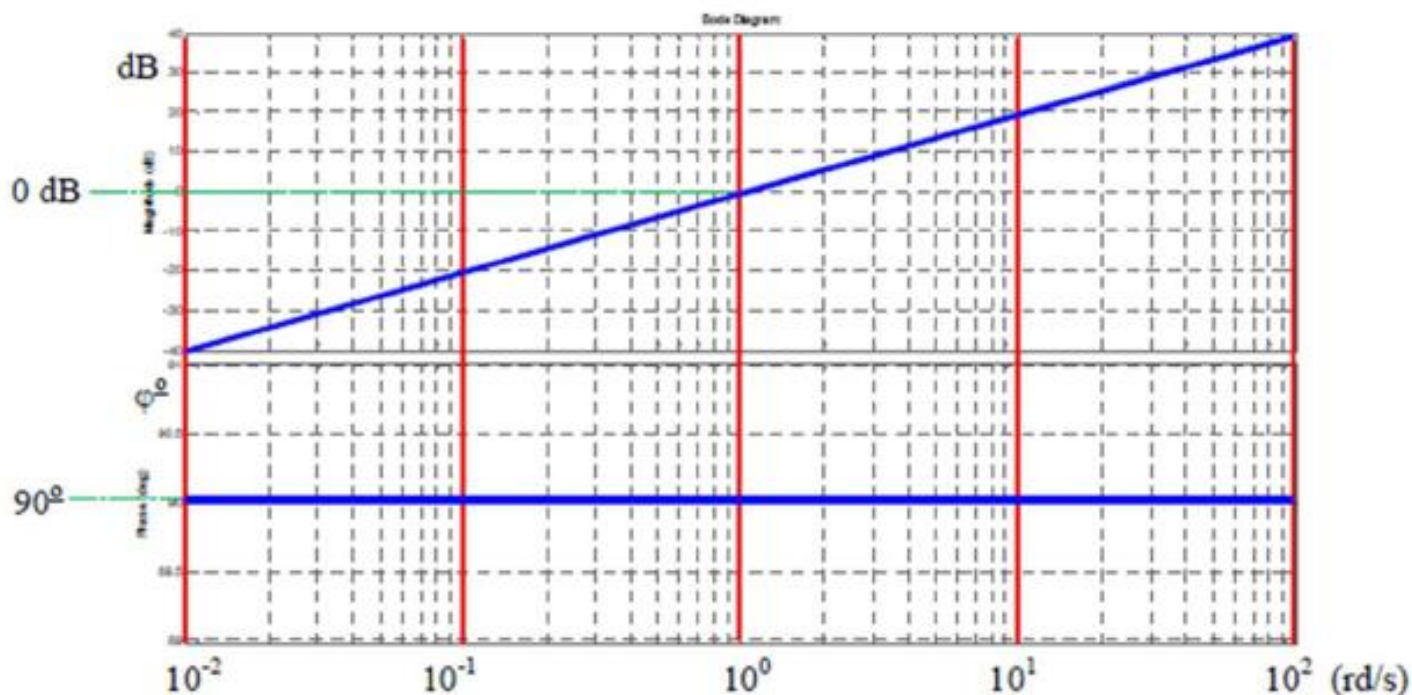
Gráfico: $H(j\omega) = K = 10$



2) Fator Integral e Derivativo $(j\omega)^{\pm 1}$

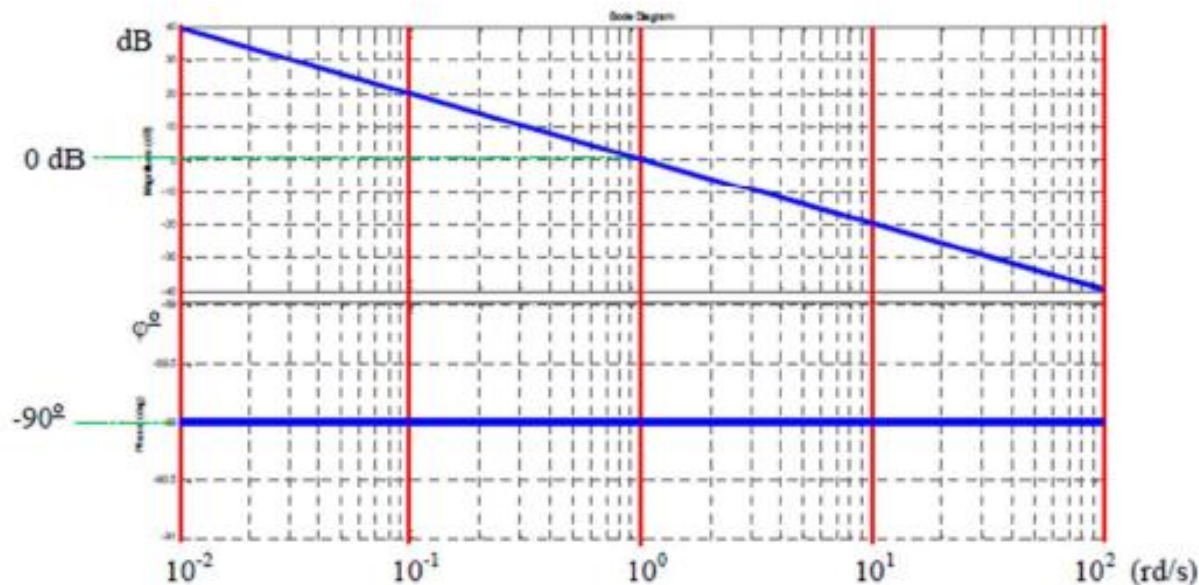
- O Gráfico de *log-módulo* de $(j\omega)$ em dB é $20 \cdot \log_{10} |(j\omega)^1| = 20 \cdot \log_{10} (\omega)$ dB.
- O Gráfico do ângulo de fase $\phi(\omega)$ de $(j\omega)$ é 90° .

Gráfico de $(j\omega)$:



- O Gráfico de *log-módulo* de $(j\omega)^{-1}$ em dB é $20 \cdot \log_{10} |(j\omega)^{-1}| = -20 \cdot \log_{10}(\omega)$ dB.
- O Gráfico do ângulo de fase $\phi(\omega)$ de $(j\omega)^{-1}$ é -90° .

Gráfico de $(j\omega)^{-1}$:



Se a Função de Transferência possui o fator $(j\omega)^{\pm n}$, o *log-módulo* será:

- $20 \cdot \log_{10} |(j\omega)^{-n}| = -n \cdot 20 \cdot \log_{10}(\omega) = -20 \cdot n \cdot \log_{10}(\omega)$ dB
- $20 \cdot \log_{10} |(j\omega)^{+n}| = n \cdot 20 \cdot \log_{10}(\omega) = 20 \cdot n \cdot \log_{10}(\omega)$ dB

Conclusões:

- As inclinações das curvas dos *log-módulo* para os fatores $(j\omega)^{-n}$ e $(j\omega)^n$ serão $-20n$ dB/década e $20n$ dB/década respectivamente.
- Os ângulos de fase para os fatores $(j\omega)^{-n}$ e $(j\omega)^n$ serão $-(90n)^\circ$ e $(90n)^\circ$ respectivamente em toda a faixa de frequência.

3) Fator de Primeira Ordem $(1 + j\omega T)^{\pm 1}$

- O Gráfico de *log-módulo* de $(1 + j\omega T)$ em dB varia para baixos e altos valores de ω .

Para $(1 + j\omega T)$ temos: $20 \cdot \log_{10}|(1 + j\omega T)| = 20 \cdot \log_{10}(\sqrt{(1 + \omega^2 T^2)})$ (dB)

Assíntotas:

- Para baixas frequências ($\omega \rightarrow 0$):

$$f(\omega \rightarrow 0) = 20 \cdot \log_{10}(\sqrt{(1 + \omega^2 T^2)}) = 20 \cdot \log_{10}(1) \cong 0 \text{ (dB)}$$

- Para altas frequências ($\omega \rightarrow \infty$):

$$f(\omega \rightarrow \infty) = 20 \cdot \log_{10}(\sqrt{(1 + \omega^2 T^2)}) = 20 \cdot \log_{10}(\omega T) \text{ (dB)}$$

No cruzamento das assíntotas teremos:

$$20 \cdot \log_{10}(\omega T) = 0 \Rightarrow \log_{10}(\omega T) = 0 \Rightarrow \omega T = 10^0 \Rightarrow \omega T = 1 \Rightarrow \omega = \frac{1}{T} \text{ (rd/s)}$$

Esta frequência $\omega = \frac{1}{T}$ (rd/s) é denominada *Frequência de Canto* e é denotada por:

$$\omega_n = \frac{1}{T} \text{ (rd/s)}$$

A *Frequência de Canto* ω_n divide a curva de resposta em frequência em duas regiões, a **região de baixa frequência** ($\omega \rightarrow 0$) e a **região de alta frequência** ($\omega \rightarrow \infty$).

Então para $\omega = \frac{1}{T} \Rightarrow \log\text{-módulo} = 0$ dB e para $\omega = \frac{10}{T} \Rightarrow \log\text{-módulo} = 20$ dB.

Assim, o valor de $20 \cdot \log_{10}(\omega T)$ (dB) **cresce** 20 dB/década de frequência ω .

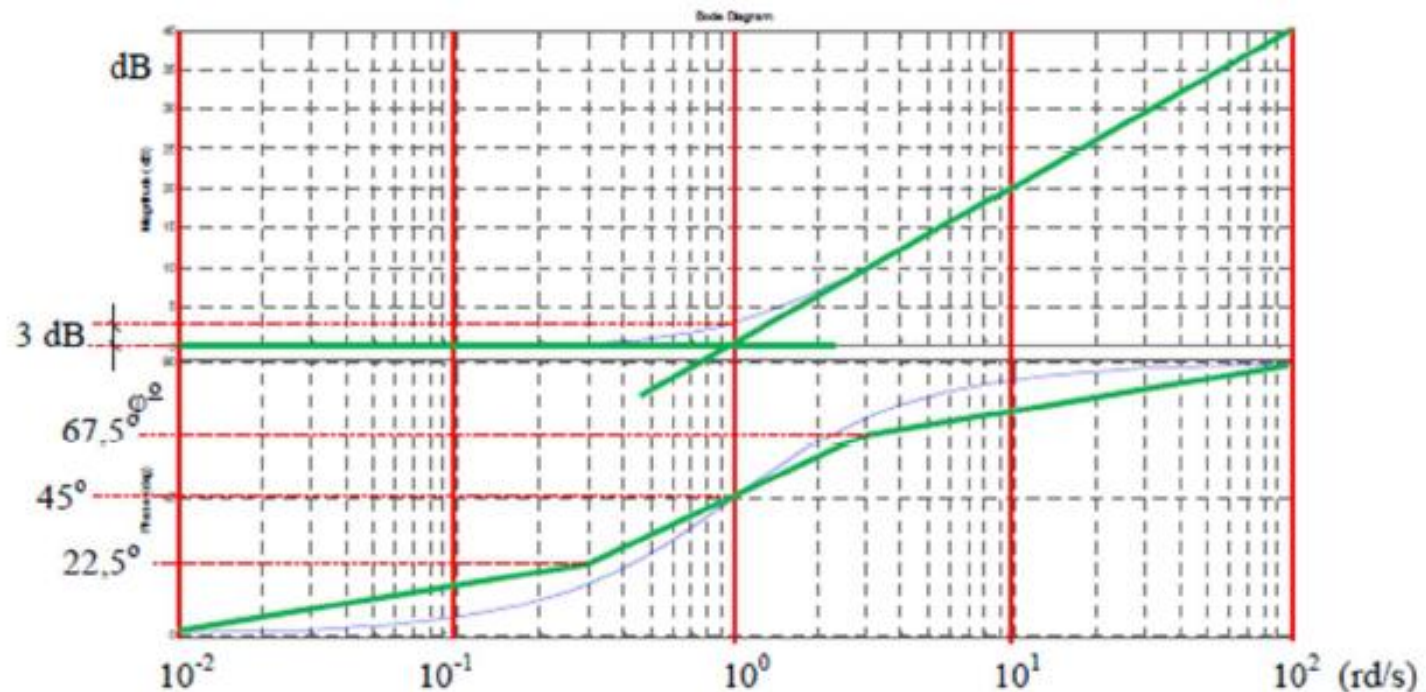
- O Gráfico do ângulo de fase $\varphi(\omega)$ de $(1 + j\omega T)$ é dado por: $\varphi(\omega) = \text{tg}^{-1}(\omega T)$

Para $\omega \rightarrow 0 \Rightarrow \varphi = 0^\circ$

Para $\omega = \frac{1}{T} \Rightarrow \varphi = 45^\circ$

Para $\omega \rightarrow \infty \Rightarrow \varphi = 90^\circ$

Gráfico de $(1 + j\omega T)$ com $T = 1$:



Para $(1 + j\omega T)^{-1}$ temos: $-20 \cdot \log_{10}|(1 + j\omega T)| = -20 \cdot \log_{10}(\sqrt{(1 + \omega^2 T^2)})$ (dB)

Assíntotas:

- Para baixas frequências ($\omega \rightarrow 0$):

$$f(\omega \rightarrow 0) = -20 \cdot \log_{10}(\sqrt{(1 + \omega^2 T^2)}) = -20 \cdot \log_{10}(1) \cong 0 \text{ (dB)}$$

- Para altas frequências ($\omega \rightarrow \infty$):

$$f(\omega \rightarrow \infty) = -20 \cdot \log_{10}(\sqrt{(1 + \omega^2 T^2)}) = -20 \cdot \log_{10}(\omega T) \text{ (dB)}$$

No cruzamento das assíntotas de baixa e de alta frequência teremos:

$$-20 \cdot \log_{10}(\omega T) = 0 \Rightarrow \log_{10}(\omega T) = 0 \Rightarrow \omega T = 10^0 \Rightarrow \omega T = 1 \Rightarrow \omega = \frac{1}{T} \text{ (rd/s)}$$

Esta frequência $\omega = \frac{1}{T}$ (rd/s) é denominada **Frequência de Canto** e é denotada por:

$$\omega_n = \frac{1}{T} \text{ (rd/s)}$$

A **Frequência de Canto** ω_n divide a curva de resposta em frequência em duas regiões, a **região de baixa frequência** ($\omega \rightarrow 0$) e a **região de alta frequência** ($\omega \rightarrow \infty$).

Então para $\omega = \frac{1}{T} \Rightarrow \log\text{-módulo} = 0$ dB e para $\omega = \frac{10}{T} \Rightarrow \log\text{-módulo} = -20$ dB.

Assim, o valor de $-20 \cdot \log_{10}(\omega T)$ (dB) **decrece** -20 dB/década de frequência ω .

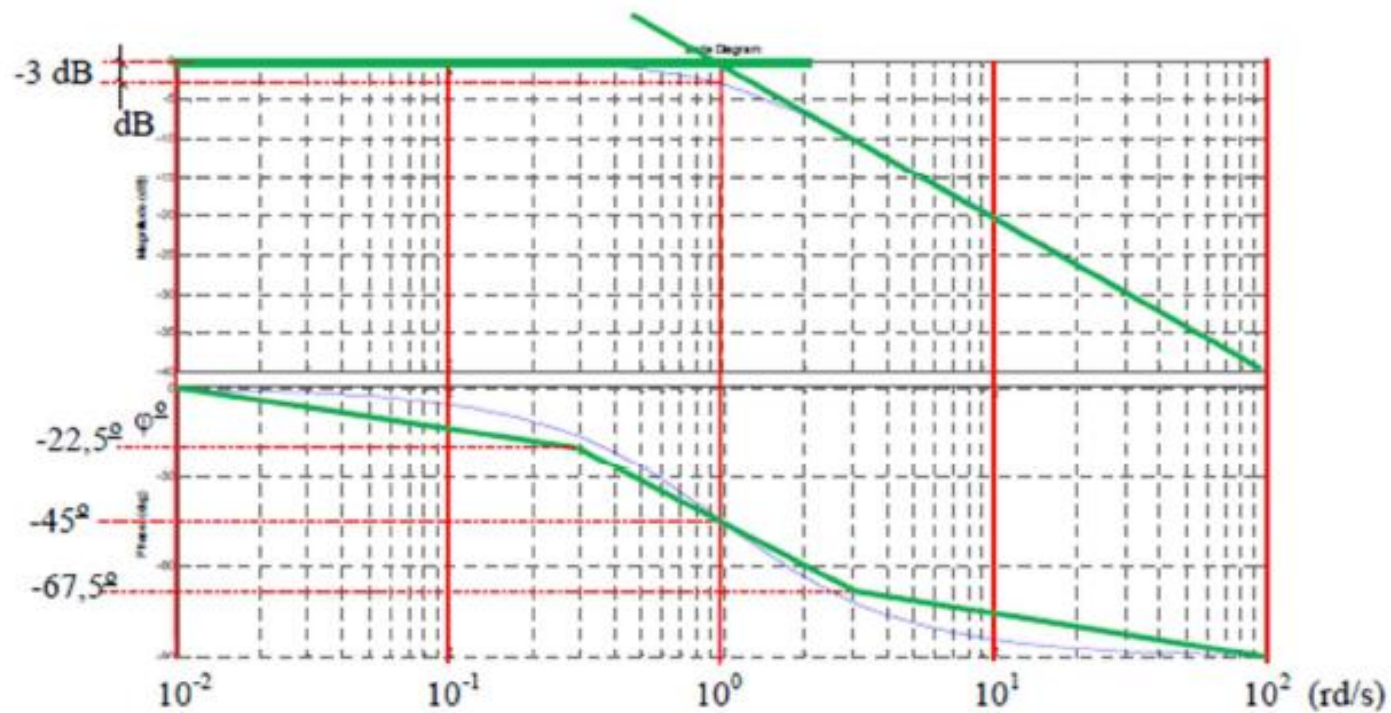
- O Gráfico do ângulo de fase $\varphi(\omega)$ de $(1 + j\omega T)^{-1}$ é dado por: $\varphi(\omega) = -\text{tg}^{-1}(\omega T)$

Para $\omega \rightarrow 0 \Rightarrow \varphi = 0^\circ$

Para $\omega = \frac{1}{T} \Rightarrow \varphi = -45^\circ$

Para $\omega \rightarrow \infty \Rightarrow \varphi = -90^\circ$

Gráfico de $(1 + j\omega T)^{-1}$ com $T = 1$:



4) Fatores Quadráticos $\left[1 + 2\xi \left(\frac{jw}{w_n} \right) + \left(\frac{jw}{w_n} \right)^2 \right]^{\pm 1}$

- O Gráfico de *log-módulo* de $\left[1 + 2\xi \left(\frac{jw}{w_n} \right) + \left(\frac{jw}{w_n} \right)^2 \right]^{\pm 1}$ em dB varia para baixos e altos valores de w .

Geralmente encontra-se: $\left[1 + 2\xi \left(\frac{jw}{w_n} \right) + \left(\frac{jw}{w_n} \right)^2 \right]^{-1}$

- Se $\xi > 1 \Rightarrow$ pólos reais distintos \Rightarrow dois fatores de 1ª ordem \Rightarrow idem a $(1 + jwT)^{-1}$!

- Se $0 < \xi < 1 \Rightarrow$ pólos complexos conjugados \Rightarrow *log-módulo* e $\varphi(w)$ dependem de ξ e de w_n .

Então: $20 \cdot \log_{10} \left| \left[1 + 2\xi \left(\frac{jw}{w_n} \right) + \left(\frac{jw}{w_n} \right)^2 \right]^{-1} \right| = -20 \cdot \log_{10} \left[\sqrt{\left(1 - \frac{w^2}{w_n^2} \right)^2 + \left(2\xi \frac{w}{w_n} \right)^2} \right]$

Assíntotas:

- Para baixas frequências ($w \rightarrow 0$):

$$f(w \rightarrow 0) = -20 \cdot \log_{10} \left[\sqrt{\left(1 - \frac{w^2}{w_n^2}\right)^2 + \left(2\xi \frac{w}{w_n}\right)^2} \right] = -20 \cdot \log_{10}(1) \cong 0 \text{ dB}$$

- Para altas frequências ($w \rightarrow \infty$):

$$\begin{aligned} f(w \rightarrow \infty) &= \\ -20 \cdot \log_{10} \left[\sqrt{\left(1 - \frac{w^2}{w_n^2}\right)^2 + \left(2\xi \frac{w}{w_n}\right)^2} \right] &= -20 \cdot \log_{10} \left[\frac{w}{w_n} \right]^2 = -40 \cdot \log_{10} \left[\frac{w}{w_n} \right] \text{ dB} \end{aligned}$$

No cruzamento das assíntotas teremos:

$$-40 \cdot \log_{10} \left(\frac{w}{w_n} \right) = 0 \Rightarrow w = w_n \text{ (rd/s)}.$$

Esta frequência $w = w_n$ (rd/s) é denominada *Frequência de Canto* do Fator Quadrático.

Observando o Fator $\left[1 + 2\xi \left(\frac{jw}{w_n} \right) + \left(\frac{jw}{w_n} \right)^2 \right]^{-1}$, pode-se supor uma situação de

ressonância quando $w = w_n$, assim: $\left[1 + 2\xi \cdot (j1) + (-1) \cdot (1)^2 \right]^{-1} = (j2\xi)^{-1}$

Conclusão: no valor $w = w_n$ a resposta sofrerá um pico de ressonância dependendo do valor de ξ , ou seja, quanto maior a amplitude de ξ menor será o pico de ressonância e quanto menor a amplitude de ξ maior será o pico de ressonância.

A *Frequência de Canto* w_n divide a curva de resposta em frequência em duas regiões, a **região de baixa frequência** ($w \rightarrow 0$) e a **região de alta frequência** ($w \rightarrow \infty$).

Então para $w = w_n \Rightarrow \log\text{-módulo} = 0$ dB e para $w = 10.w_n \Rightarrow \log\text{-módulo} = -40$ dB.

Assim, o valor de $-40 \cdot \log_{10}\left(\frac{w}{w_n}\right)$ (dB) **decrece** -40 dB/década de frequência w .

- O Gráfico do ângulo de fase $\varphi(w)$ de $\left[1 + 2\xi\left(\frac{jw}{w_n}\right) + \left(\frac{jw}{w_n}\right)^2\right]^{-1}$ é dado por:

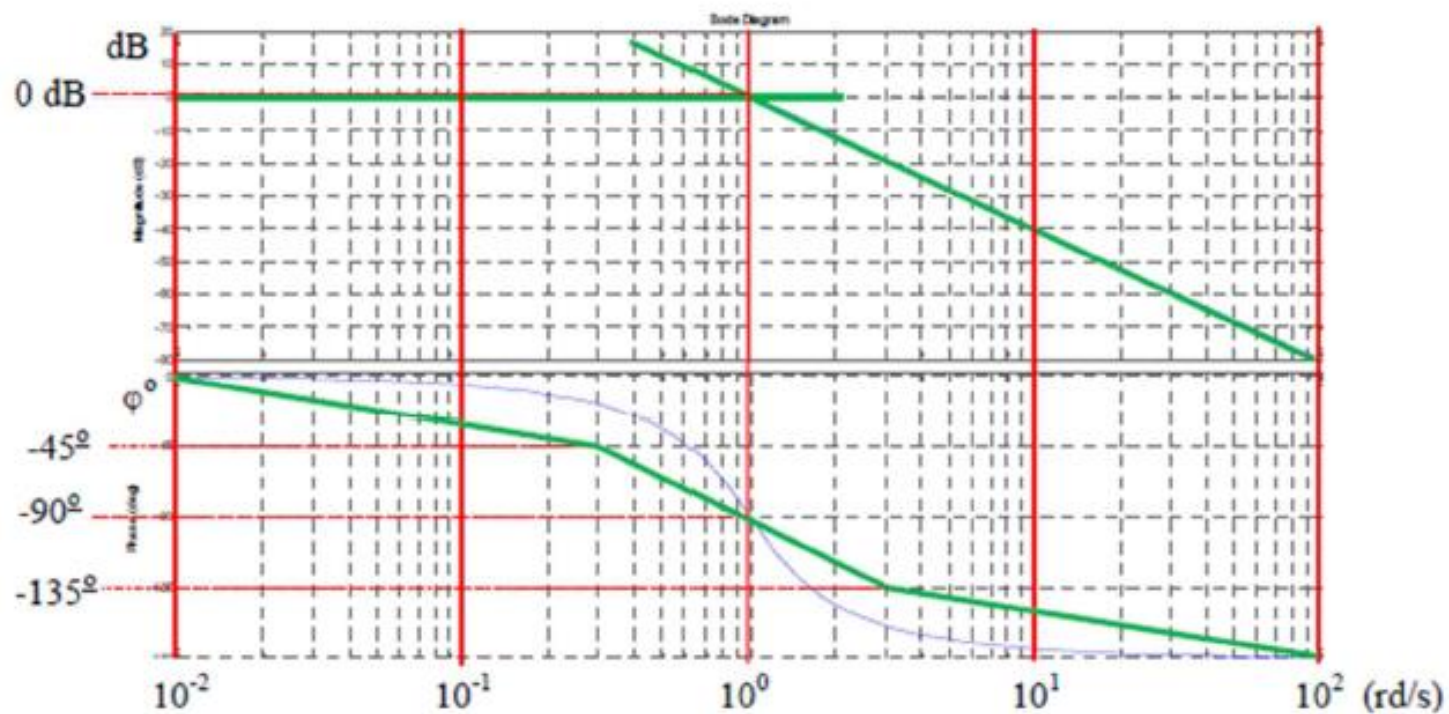
$$\varphi(w) = -\operatorname{tg}^{-1} \left[\frac{2\xi \cdot \left(\frac{w}{w_n}\right)}{1 - \left(\frac{w}{w_n}\right)^2} \right].$$

Para $w \rightarrow 0 \Rightarrow \varphi = 0^\circ$

Para $w = w_n \Rightarrow \varphi = -90^\circ$

Para $w \rightarrow \infty \Rightarrow \varphi = -180^\circ$

Gráfico para $\xi = 0,5$ e $\omega_n = 1$ rd/s de $\left[1 + 2\xi \left(\frac{j\omega}{\omega_n} \right) + \left(\frac{j\omega}{\omega_n} \right)^2 \right]^{-1}$:

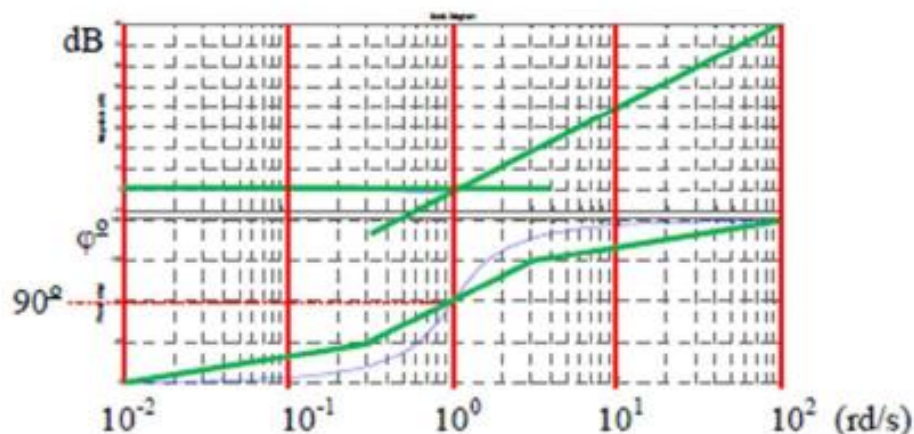


Analogamente à análise feita para o fator de 1ª ordem, para o fator

$\left[1 + 2\xi \left(\frac{jw}{w_n} \right) + \left(\frac{jw}{w_n} \right)^2 \right]$ obtém-se as curvas *log-módulo* e $\phi(w)$ invertendo-se os sinais

do *log-módulo* e do ângulo de fase $\phi(w)$ de $\left[1 + 2\xi \left(\frac{jw}{w_n} \right) + \left(\frac{jw}{w_n} \right)^2 \right]^{-1}$.

Gráfico para $\xi = 0,5$ e $w_n = 1$ rd/s de $\left[1 + 2\xi \left(\frac{jw}{w_n} \right) + \left(\frac{jw}{w_n} \right)^2 \right]$:



Frequência de Ressonância (w_r)

O módulo de $|G(jw)| = \frac{1}{\sqrt{\left(1 - \frac{w^2}{w_n^2}\right)^2 + \left(2\xi \frac{w}{w_n}\right)^2}}$ possui um valor de pico na frequência de ressonância.

O pico de ressonância ocorrerá quando: $g(w) = \left(1 - \frac{w^2}{w_n^2}\right)^2 + \left(2\xi \frac{w}{w_n}\right)^2$ for mínimo!

$$\text{Então: } \frac{dg(w)}{dw} = 0 \Rightarrow w = w_n \sqrt{1 - 2\xi^2}$$

$$\text{Como: } \frac{dg^2(w)}{dw^2} \Rightarrow 0 \Rightarrow w_r = w_n \sqrt{1 - 2\xi^2}, \text{ para } 0 \leq \xi \leq 0,707.$$

- Se $\xi > 0,707$ não existe w_r .

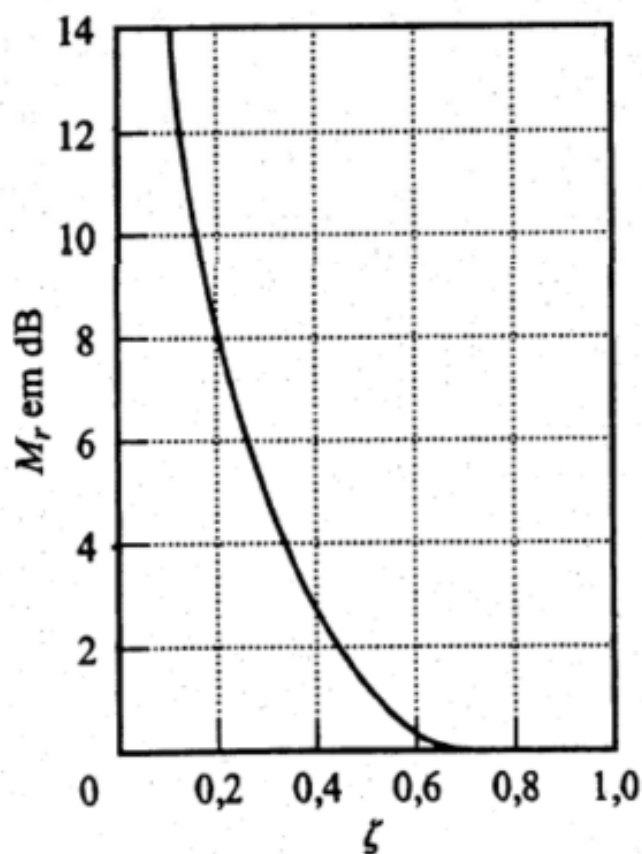
Valor do Pico de Ressonância (M_r)

Substituindo-se w_r em $|G(jw)|$ temos que o valor do Pico de Ressonância. Assim:

$$M_r = |G(jw)|_{\max} = |G(jw_r)| = \frac{1}{2\xi\sqrt{1-\xi^2}}$$

- Para $\xi > 0,707 \Rightarrow M_r = 1$.

- Para $\xi \rightarrow 0 \Rightarrow M_r \rightarrow \infty$.

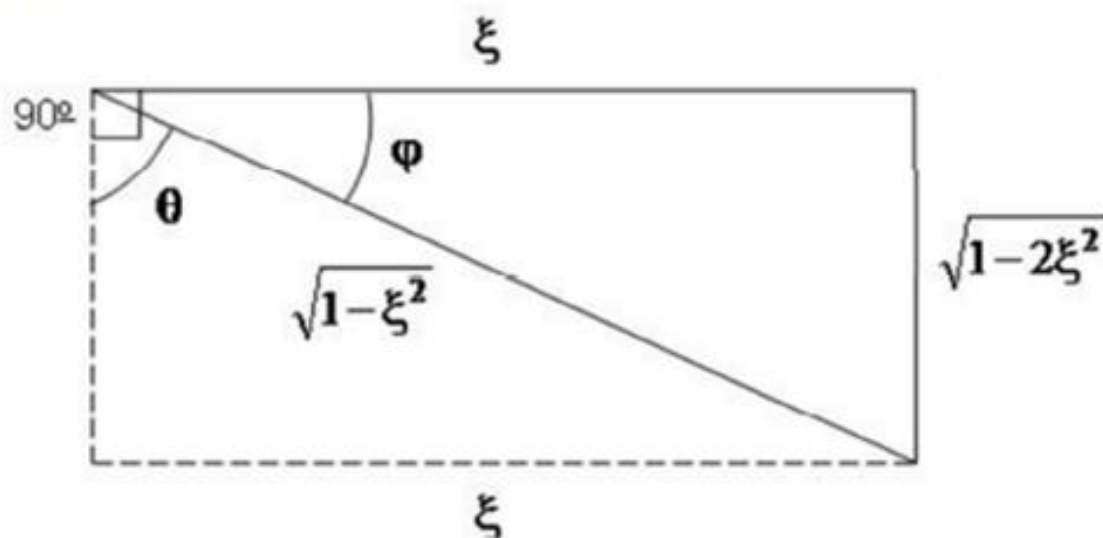


O ângulo de fase $\varphi(w)$ onde ocorre o pico de ressonância pode ser obtido substituindo o

valor de $w_r = w_n \sqrt{1 - 2\xi^2}$ em $\varphi(w) = -\operatorname{tg}^{-1} \left[\frac{2\xi \cdot \left(\frac{w}{w_n} \right)}{1 - \left(\frac{w}{w_n} \right)^2} \right]$ resultando:

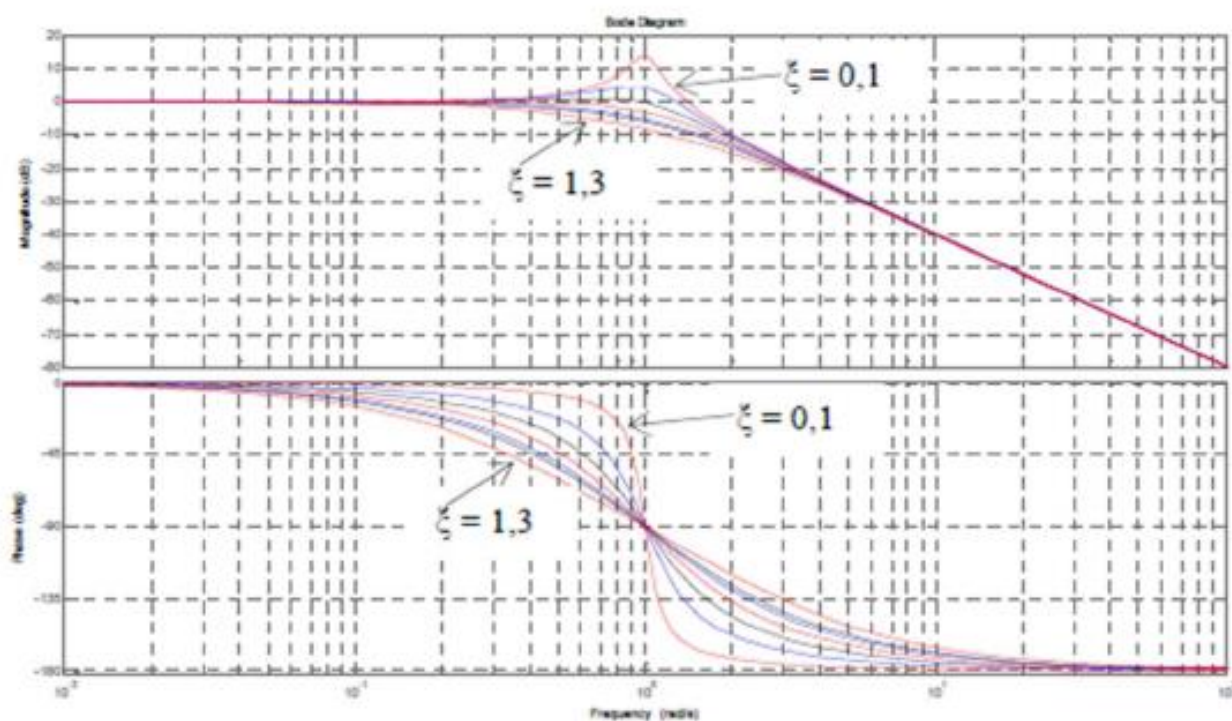
$$\varphi(w_r) = -\operatorname{tg}^{-1} \left[\frac{\sqrt{1 - 2\xi^2}}{\xi} \right] = -90^\circ + \operatorname{sen} \left(\frac{\xi}{\sqrt{1 - \xi^2}} \right)$$

Geometricamente:



Exemplo de Picos de Ressonância

Gráficos de $\left[1 + 2\xi \left(\frac{j\omega}{\omega_n} \right) + \left(\frac{j\omega}{\omega_n} \right)^2 \right]^{-1}$ para $\omega_n = 1$ rd/s e ξ variando de 0,1 até 1,3 em intervalos de 0,3.



Importante:

Utilizando o **Diagrama de Bode**, a partir da Função de Transferência $H(s)$ de um circuito e dada sua entrada, pode-se obter a sua saída em **estado permanente** ($s = jw$) para qualquer valor de frequência w .

Por exemplo, se $H(s = jw) = \frac{V_o(jw)}{V_i(jw)}$ é a Função de Transferência $H(jw)$

de um circuito e dado que a sua entrada seja $v_i(t) = V_m \cdot \cos(w_i t + \theta)$, sendo w_i a frequência da fonte, a saída $v_o(t)$ é obtida de:

$$V_o(jw_i) = H(jw_i) \cdot V_i(jw_i)$$

Onde: $H(jw_i) = |H(jw_i)| \angle H(jw_i)$ e $V_i(jw_i) = |V_i(jw_i)| \angle V_i(jw_i)$.

No entanto, esta saída (ou resposta) do circuito é determinada apenas para a frequência w_i da fonte de entrada necessitando de novos cálculos de $H(jw) = |H(jw)| \angle H(jw)$ e de $V_i(jw) = |V_i(jw)| \angle V_i(jw)$ para qualquer outra frequência da fonte.

Como o **Diagrama de Bode** nos fornece $|H(jw)|$ e $\angle H(jw)$ para quaisquer valores de w variando de 0 a ∞ , pode-se então determinar a saída (ou resposta) do circuito, dada a entrada $v_i(t)$ para qualquer valor de frequência w desejada sem a necessidade de novos cálculos apenas utilizando os valores dados no **Diagrama de Bode**.

Procedimentos Geral para a Construção do Diagrama de Bode

- Reescreve-se a função de transferência senoidal $G(j\omega)H(j\omega)$ como produto de fatores básicos.
- Identifica-se a frequência de canto associada a estes fatores básicos
- Traça-se as curvas assintóticas com módulo em dB com as inclinações apropriadas entre as frequências de canto
- A curva do ângulo de fase pode ser obtida adicionando-se as curvas de ângulo de fase dos fatores individuais

EXEMPLO 3

Desenhe o diagrama de Bode da seguinte função de transferência:

$$G(j\omega) = \frac{10(j\omega + 3)}{(j\omega)(j\omega + 2)[(j\omega)^2 + j\omega + 2]}$$

$$G(j\omega) = \frac{10(j\omega + 3)}{(j\omega)(j\omega + 2)[(j\omega)^2 + j\omega + 2]} \rightarrow G(j\omega) = \frac{7,5\left(\frac{j\omega}{3} + 1\right)}{(j\omega)\left(\frac{j\omega}{2} + 1\right)\left[\frac{(j\omega)^2}{2} + \frac{j\omega}{2} + 1\right]}$$

Essa função é composta pelos seguintes fatores:

$$7,5$$

$$(j\omega)^{-1}$$

$$1 + j\frac{\omega}{3}$$

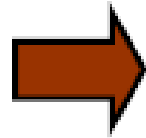
$$\left(1 + j\frac{\omega}{2}\right)^{-1}$$

$$\left[1 + j\frac{\omega}{2} + \frac{(j\omega)^2}{2}\right]^{-1}$$

frequências de canto

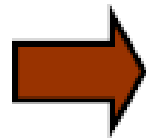
coeficiente de amortecimento

$$1 + j\frac{\omega}{3}$$



$$\omega = 3$$

$$\left(1 + j\frac{\omega}{2}\right)^{-1}$$

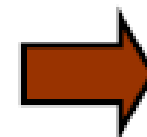


$$\omega = 2$$

$$\left[1 + j\frac{\omega}{2} + \frac{(j\omega)^2}{2}\right]^{-1}$$



$$\omega = \sqrt{2}$$



$$0,3536$$

Gráfico do Ganho (dB)

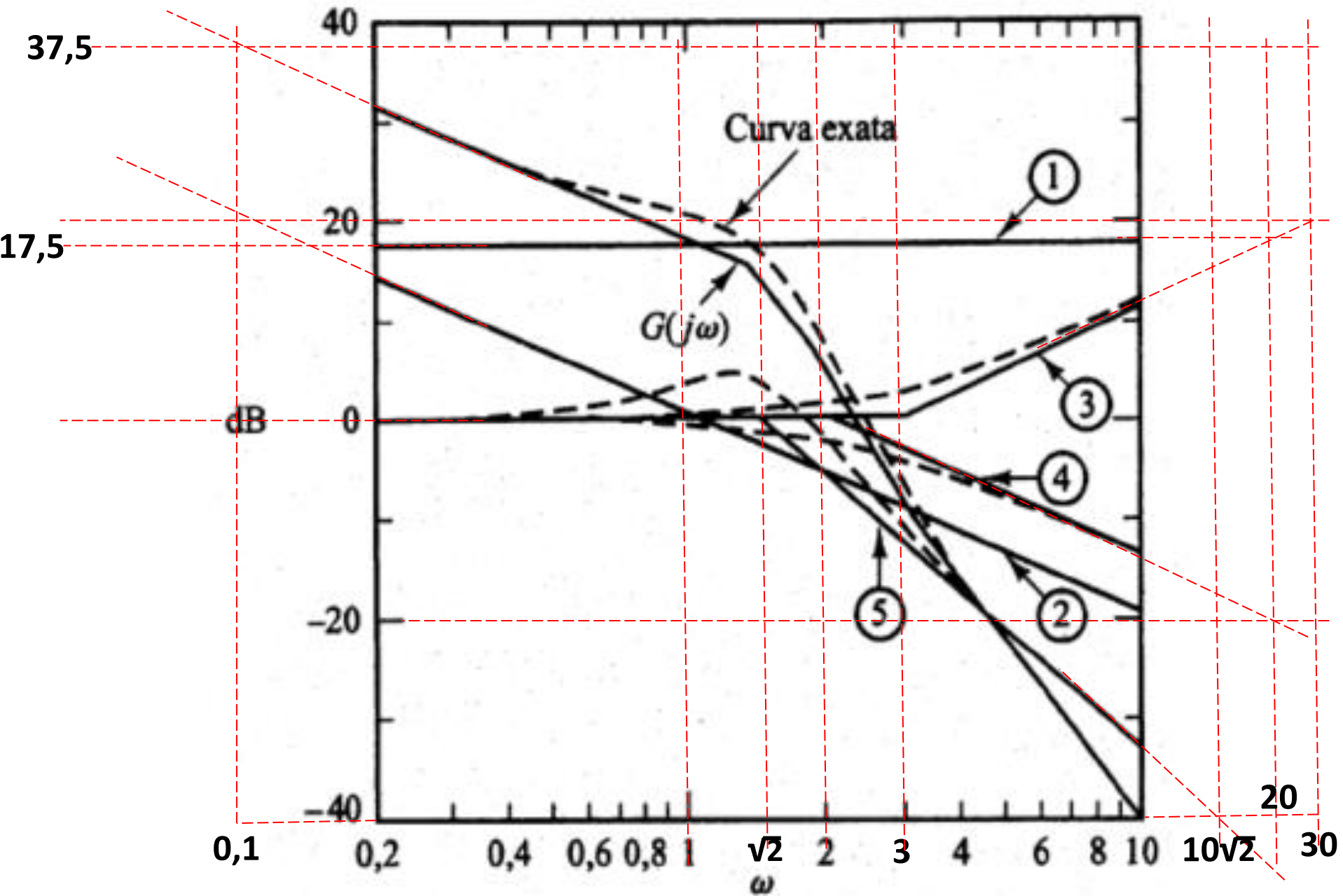
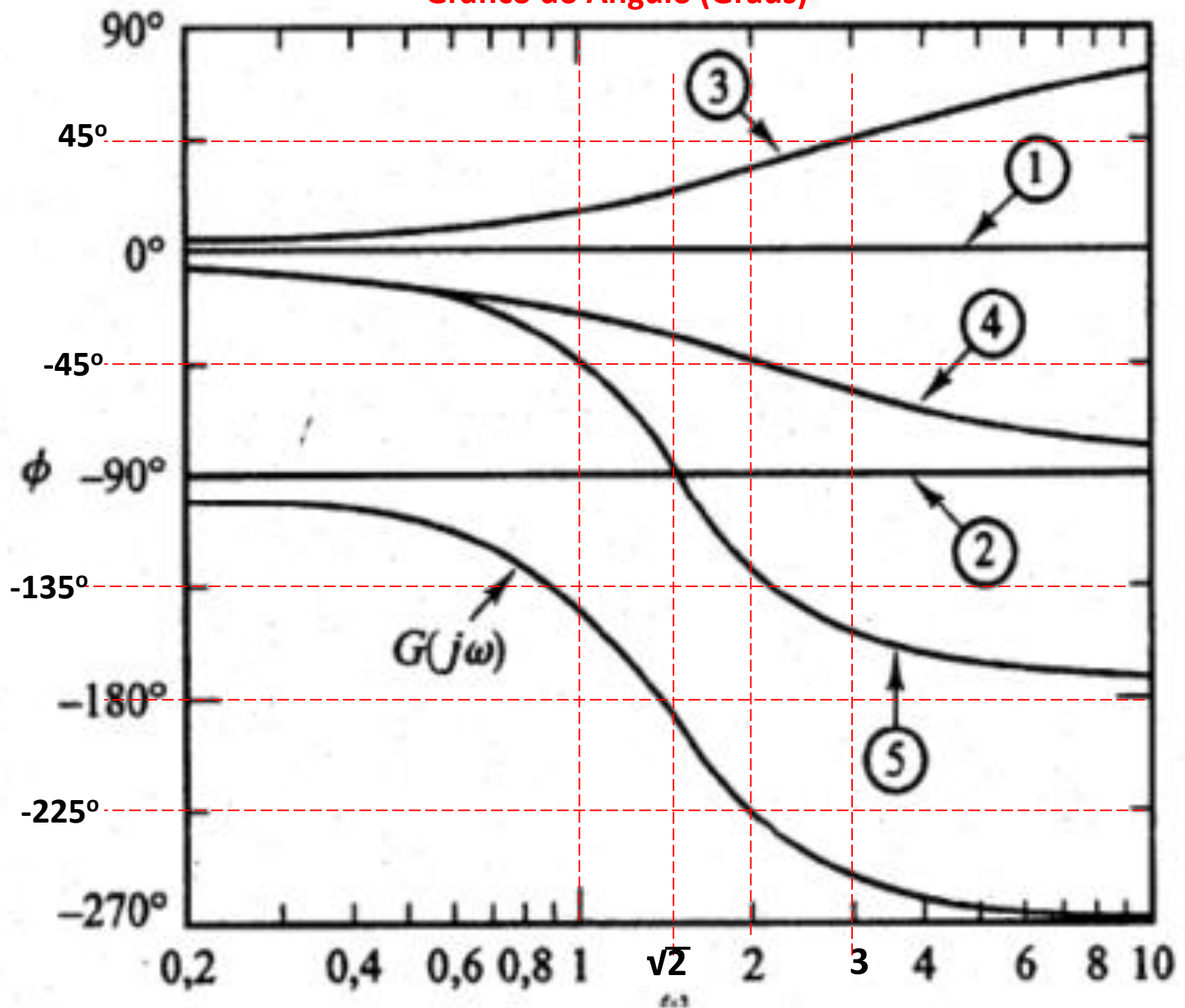


Gráfico do Ângulo (Graus)



EXERCÍCIO 1

Esboçar o Diagrama de Bode para a Função de Transferência dada a seguir:

$$H(s) = \frac{100.(s + 10)}{s.(s + 1).(s^2 + s + 100)}$$

Primeiramente devemos fatorar a **H(jw)** em **Fatores Básicos**:

$$H(jw) = \frac{100.(jw + 10)}{(jw).(jw + 1).100.[(j\frac{w}{10})^2 + (j\frac{w}{100}) + 1]} = \frac{100.10.(1 + j\frac{w}{10})}{(jw).(1 + jw).100.[1 + (2\xi j\frac{w}{10}) + (j\frac{w}{10})^2]} \Rightarrow$$
$$\Rightarrow H(jw) = \frac{10.(1 + j\frac{w}{10})}{(jw).(1 + jw).[1 + (2\xi j\frac{w}{10}) + (j\frac{w}{10})^2]}; \quad \text{onde : } 2\xi j(\frac{w}{w_c}) = j(\frac{w}{100}); w_c = 10 \text{ rd/s} \Rightarrow \xi = \frac{1}{20}$$

Os **Fatores Básicos** serão:

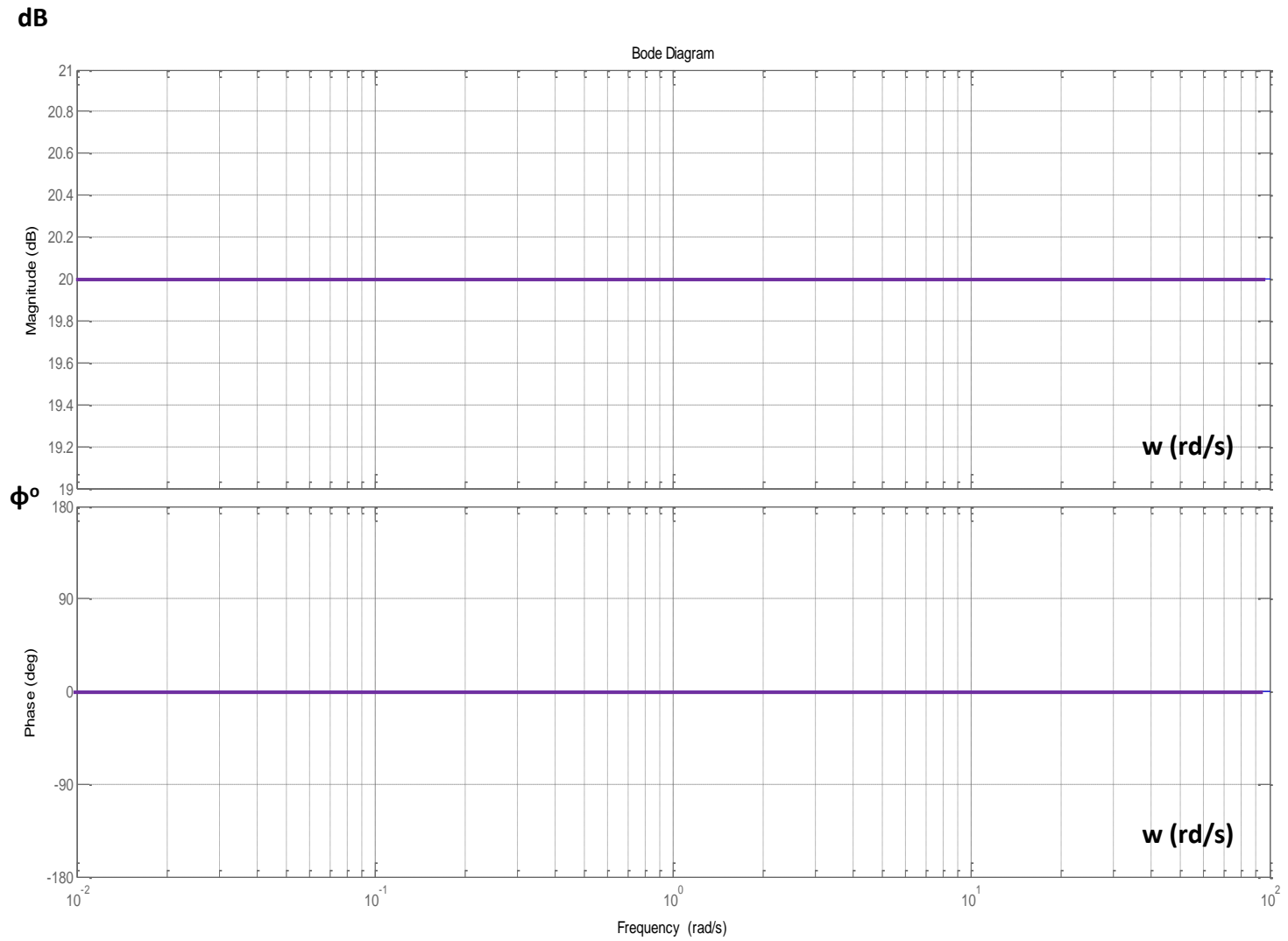
1 – Fator Ganho: **K = 10**.

2 – Fator Integral: **(jw)⁻¹** com **w_n = 1 rd/s**.

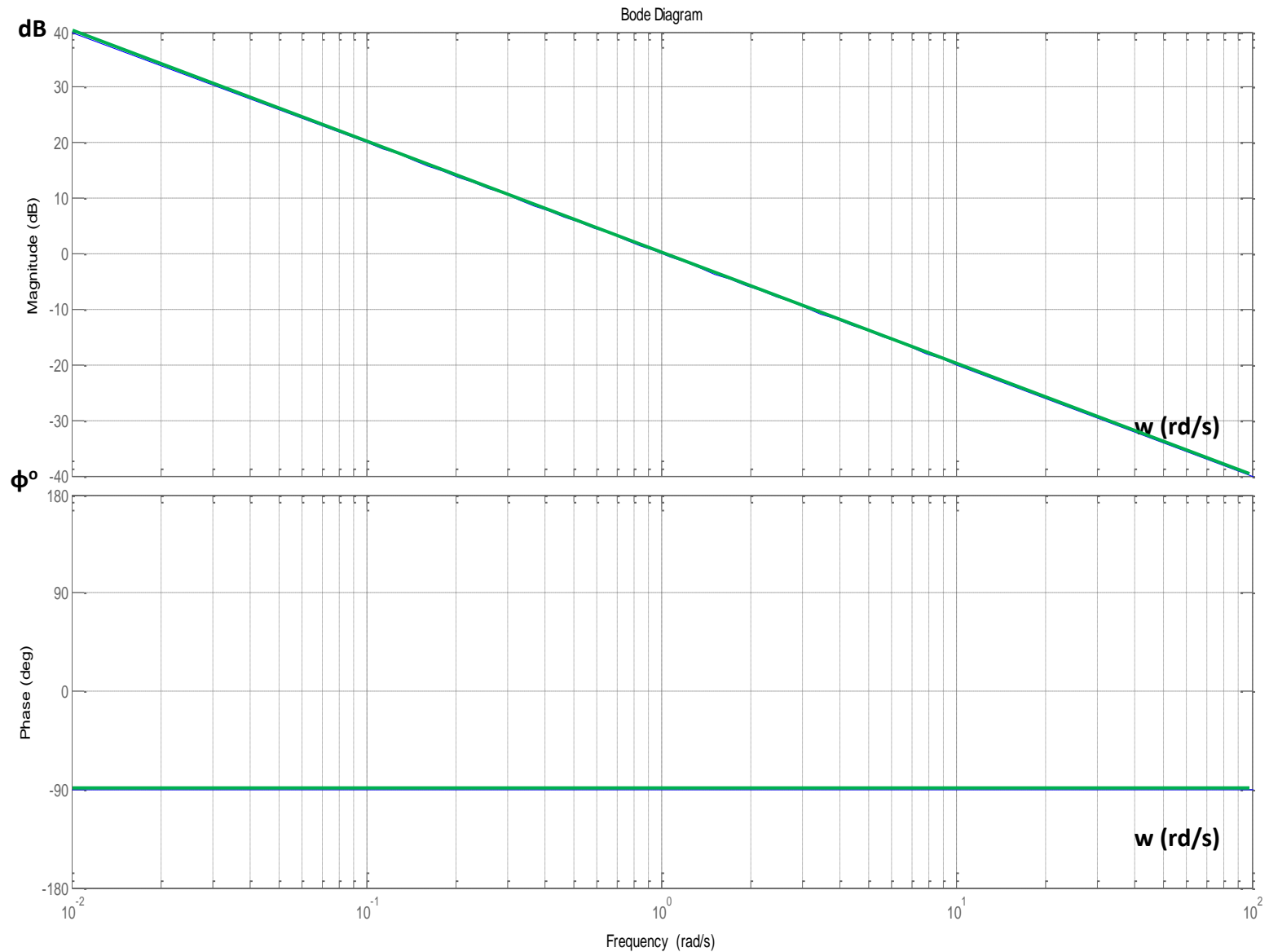
3 – Fatores de Primeira Ordem: **(1 + jw/10)** com **w_n = 10 rd/s** e **(1 + jw)⁻¹** com **w_n = 1 rd/s**.

4 – Fator Quadrático: **[1+ 2ξ(jw/w_n) + (jw/w_n)²]⁻¹** com **w_n = 10 rad/s**.

1 – Fator Ganho: $K = 10$.

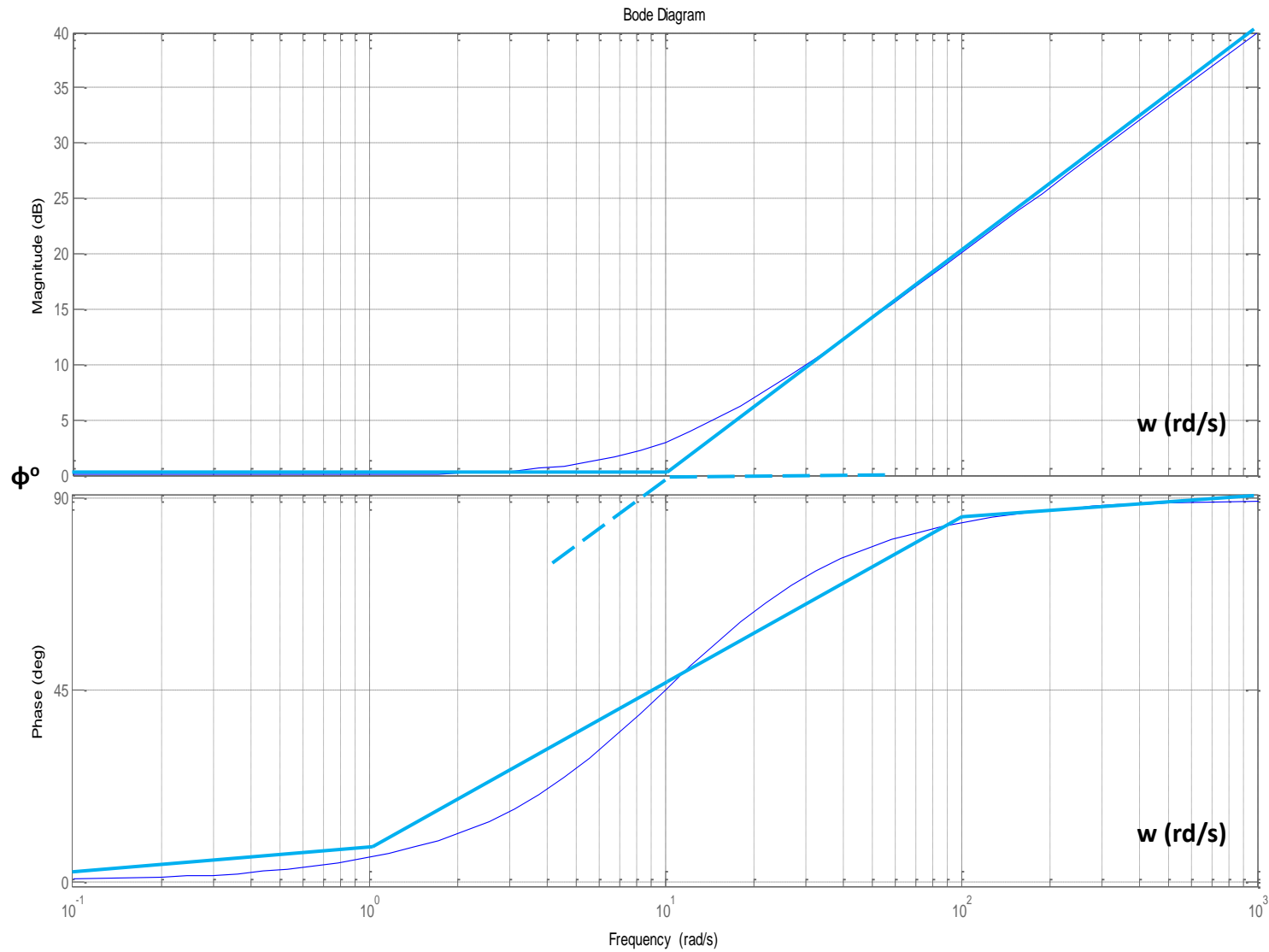


2 – Fator Integral: $(j\omega)^{-1}$ com $\omega_n = 1$ rd/s.

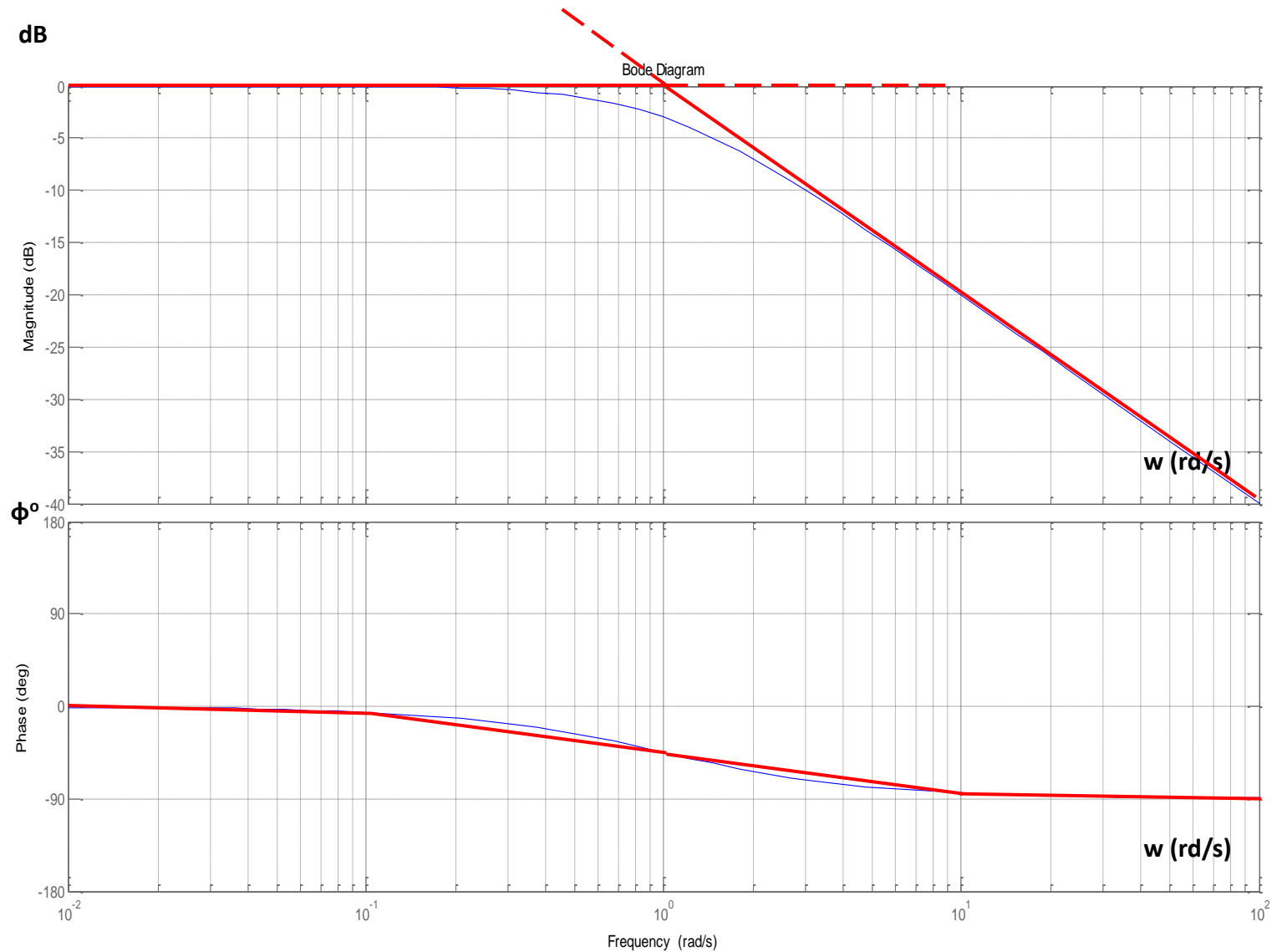


3 – Fatores de Primeira Ordem: $(1 + j\omega/10)$ com $\omega_n = 10 \text{ rd/s}$.

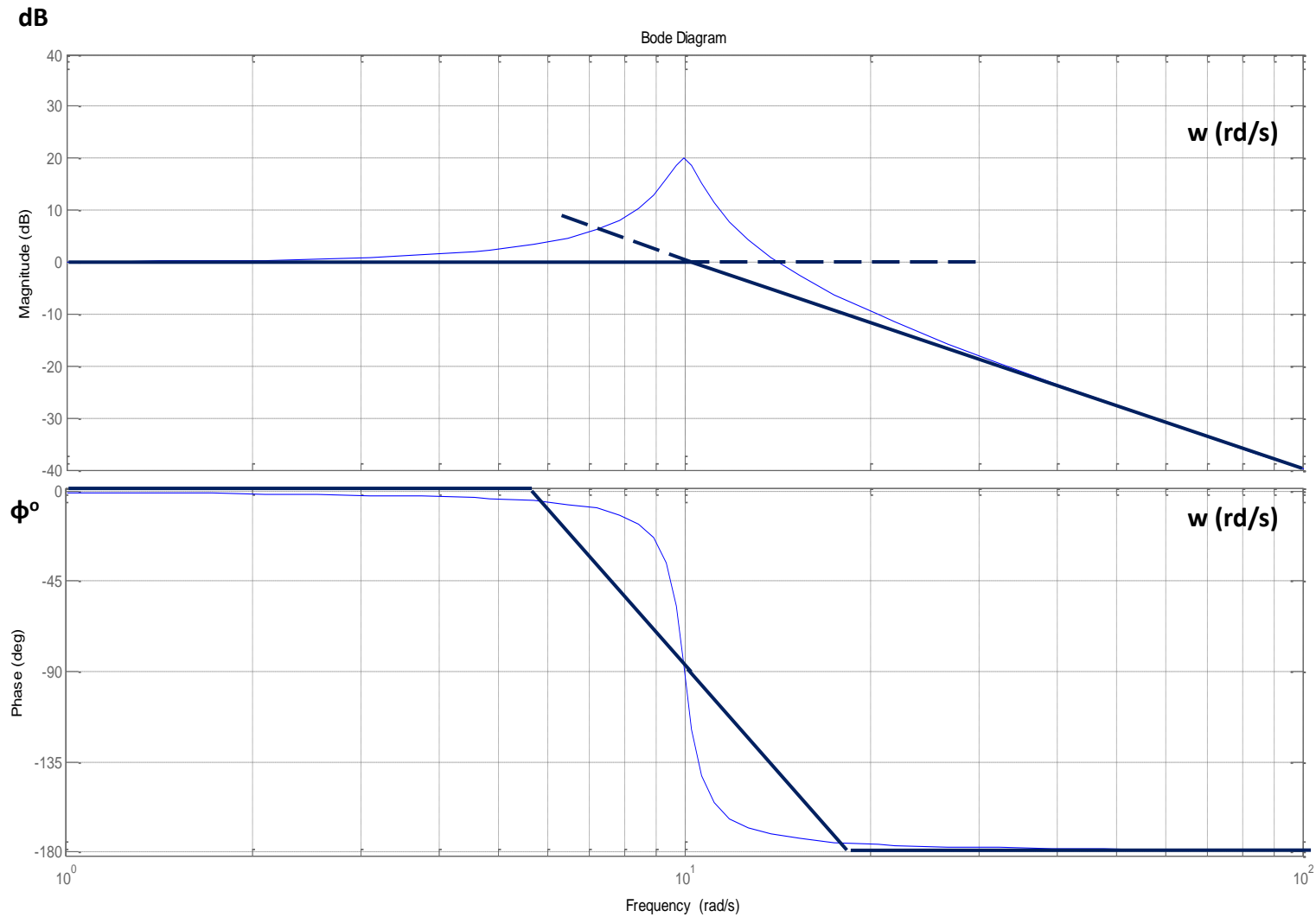
dB



4 – Fator de Primeira Ordem: $(1 + jw)^{-1}$ com $w_n = 1$ rd/s.

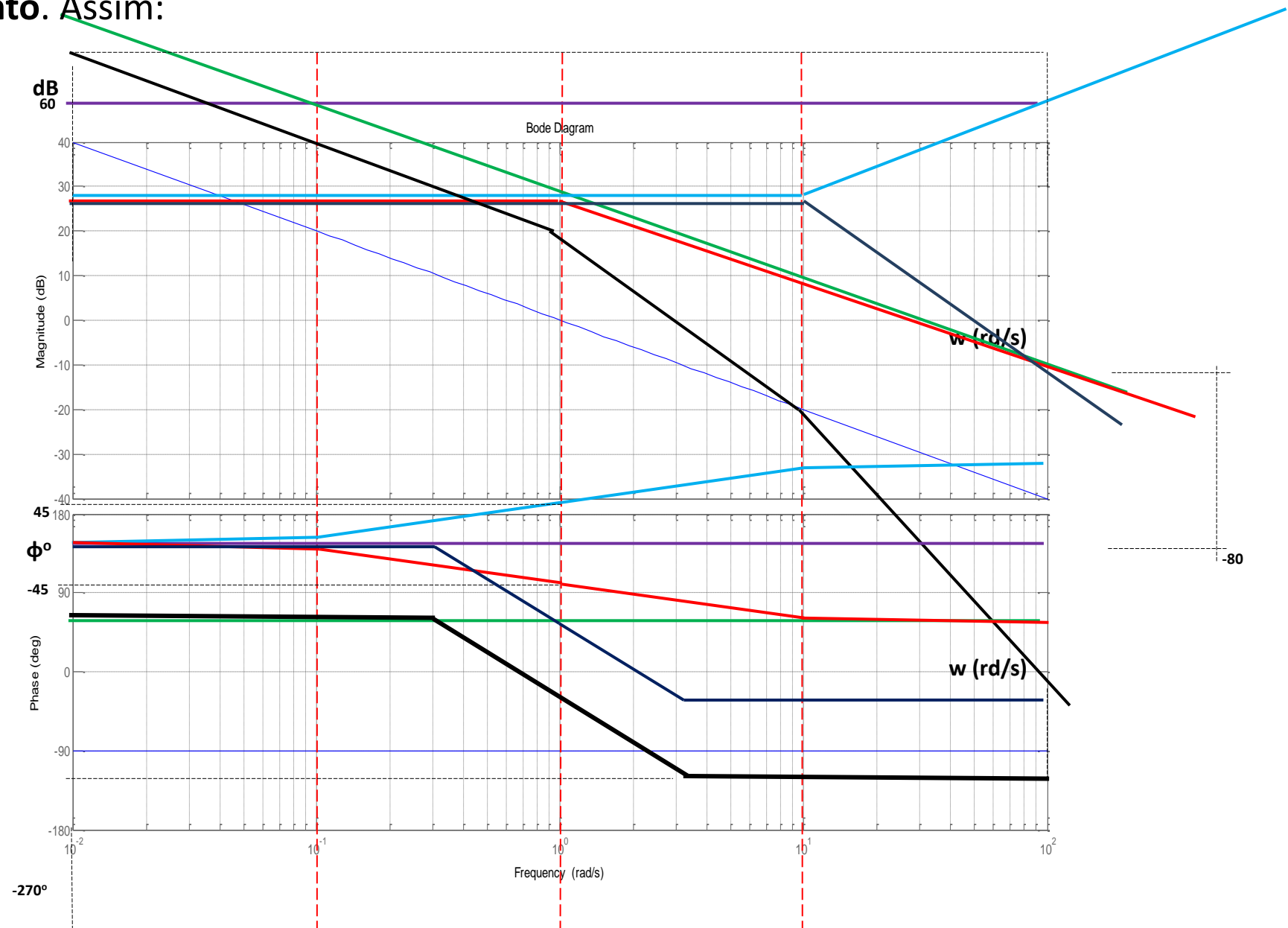


5 – Fator Quadrático: $[1+ 2\xi(jw/10) + (jw/10)^2]^{-1}$ com $w_n = 10$ rad/s.



O Diagrama de Bode para $H(s) = \frac{100.(s + 10)}{s.(s + 1).(s^2 + s + 100)}$

é construído **somando-se** as declinações de cada **Fator Básico** entre as **Frequência de Canto**. Assim:



O Diagrama de Bode preciso para o exercício anterior é mostrado a seguir traçado pelo MatLab.

